(19) **日本国特許庁(JP)**

(12) 公 開 特 許 公 報(A)

(11)特許出願公開番号

特開2021-24375 (P2021-24375A)

(43) 公開日 令和3年2月22日(2021.2.22)

(51) Int.Cl.

FΙ

テーマコード (参考)

B60G 17/00

(2006.01)

B60G 17/00

3D3O1

審査請求 未請求 請求項の数 3 OL (全 16 頁)

(21) 出願番号 (22) 出願日

特願2019-142463 (P2019-142463)

令和1年8月1日 (2019.8.1)

(71) 出願人 000005326

本田技研工業株式会社

東京都港区南青山二丁目1番1号

(74)代理人 110001807

特許業務法人磯野国際特許商標事務所

(72) 発明者 豊平 朝弥

埼玉県和光市中央1丁目4番1号 株式会

社本田技術研究所内

Fターム(参考) 3D301 AB21 DA08 DA33 DA35 DA38

DB50 EA04 EA14 EA19 EA20 EA34 EB13 EC01 EC05 EC44

EC69

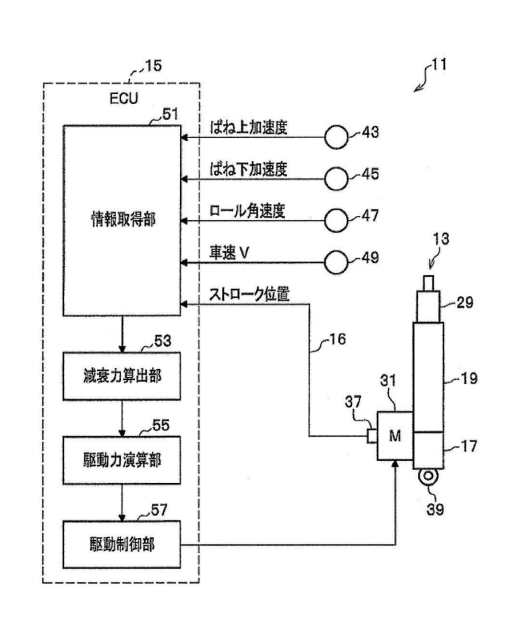
(54) 【発明の名称】電動サスペンション装置

(57)【要約】

【課題】一定の間隔を置いて段差のある道路を走行中の シーンであっても、後輪が段差を通過する際に生じる振 動を適切に減衰する。

【解決手段】ばね下部材1及びばね上部材3の間に備わ るばね部材7に並設され、減衰動作及び伸縮動作に係る 駆動力を発生させる電磁アクチュエータ13と、ばね下 部材1及びばね上部材3の伸縮方向の加速度情報を取得 する情報取得部51と、目標減衰力を算出する減衰力算 出部53と、目標減衰力に基づく目標駆動力を用いて電 磁アクチュエータ13の駆動制御を行う駆動制御部57 と、を備える。情報取得部51は、前輪側に関する加速 度情報に基づく路面凹凸信号を取得する。減衰力算出部 53は、前輪側に関する加速度情報に基づく路面凹凸信 号のうち、後輪側での振動減衰対象帯域に属する信号成 分に基づいて、少なくとも後輪側に設けた電磁アクチュ エータ13に係る目標減衰力を算出する。

【選択図】図3



【特許請求の範囲】

【請求項1】

車両の車輪を含むばね下部材、及び車体を含むばね上部材の間に備わるばね部材に並設され、減衰動作及び伸縮動作に係る駆動力を発生させる電磁アクチュエータと、

前記ばね下部材及び前記ばね上部材の少なくともいずれか一方の伸縮方向の加速度情報を取得する情報取得部と、

前記電磁アクチュエータの減衰動作の目標値である目標減衰力を算出する減衰力算出部と、

前記減衰力算出部で算出した目標減衰力に基づく目標駆動力を用いて前記電磁アクチュエータの駆動制御を行う駆動制御部と、を備え、

前記電磁アクチュエータは、少なくとも後輪側に設けられ、

前記情報取得部は、少なくとも前輪側に関する前記加速度情報に基づく路面凹凸信号を取得し、

前記減衰力算出部は、前記情報取得部で取得した前輪側に関する前記加速度情報に基づく路面凹凸信号のうち、後輪側での振動減衰対象帯域に属する信号成分に基づいて、後輪側に設けた前記電磁アクチュエータに係る前記目標減衰力を算出し、

前記駆動制御部は、前記減衰力算出部で算出した目標減衰力に基づく目標駆動力を用いて、後輪側に設けた前記電磁アクチュエータの駆動制御を行う

ことを特徴とする電動サスペンション装置。

【請求項2】

請求項1に記載の電動サスペンション装置であって、

前記情報取得部で取得した前輪側に関する前記加速度情報に基づく路面凹凸信号のうち、後輪側での振動減衰対象帯域に属する信号成分を抽出する抽出部と、

前記車両の走行に伴って前輪及び後輪のそれぞれが共通の路面入力を受ける際に生じる遅延時間を推定する遅延時間推定部と、

前記抽出部で抽出された前輪側に関する前記路面凹凸信号のうち、後輪側での振動減衰対象帯域に属する信号成分を、後輪側での振動減衰を実現するための信号波形に整形すると共に、前記遅延時間推定部で推定された前記遅延時間に基づき前記整形された信号波形に係る出現時期を調整する波形整形・時期調整部と、をさらに備え、

前記減衰力算出部は、前記波形整形・時期調整部において波形整形及び出現時期調整後の振動減衰信号に基づいて、後輪側に設けた前記電磁アクチュエータに係る前記目標減衰力を算出し、

前記駆動制御部は、前記減衰力算出部で算出した目標減衰力に基づく目標駆動力を用いて、後輪側に設けた前記電磁アクチュエータの駆動制御を行う

ことを特徴とする電動サスペンション装置。

【請求項3】

請求項2に記載の電動サスペンション装置であって、

前記情報取得部は、前記車両の車速情報、ホイールベース情報、及び処理遅延時間情報をさらに取得し、

前記遅延時間推定部は、前記情報取得部で取得した車速情報、ホイールベース情報、及び処理遅延時間情報に基づいて、前記遅延時間を推定する

ことを特徴とする電動サスペンション装置。

【発明の詳細な説明】

【技術分野】

[0001]

本発明は、車両の車体と車輪の間に備わるばね部材に並設され減衰動作及び伸縮動作に係る駆動力を発生させる電磁アクチュエータを備える電動サスペンション装置に関する。

【背景技術】

[0002]

本願出願人は、車両の車体と車輪の間に備わるばね部材と並設され減衰動作及び伸縮動

10

20

30

40

作に係る駆動力を発生させる電磁アクチュエータを備える電動サスペンション装置を提案している(例えば特許文献 1 参照)。電磁アクチュエータは、電動機の他に、ボールねじ機構を備えて構成される。電磁アクチュエータは、電動機の回転運動をボールねじ機構の直線運動へと変換することにより、減衰動作及び伸縮動作に係る駆動力を発生させるように動作する。

[0003]

ここで、減衰動作に係る駆動力とは、減衰力を意味する。減衰力とは、電磁アクチュエータのストローク方向と反対向きの力(反力)をいう。一方、伸縮動作に係る駆動力とは、伸縮力を意味する。伸縮力とは、電磁アクチュエータの伸縮方向に沿う向きの力であって、ストローク方向に依存せずに、ストローク方向と同じ向き又は反対向きに発生させる力をいう。

[0004]

特許文献 1 に係る電動サスペンション装置では、車両の乗り心地・操縦安定性を高めるために、フルバンプ又はフルリバウンド状態に陥る事態を未然に回避することが強く要請される。

こうした要請に応えるために、特許文献1に係る電動サスペンション装置は、車両の車体と車輪の間に備わるばね部材に並設され減衰動作及び伸縮動作に係る駆動力を発生させる電磁アクチュエータと、電磁アクチュエータのストローク位置を取得する情報取得部と、電磁アクチュエータの目標減衰力及び目標伸縮力を設定すると共に、当該設定した目標減衰力及び目標伸縮力に基づく目標駆動力を用いて電磁アクチュエータの駆動制御を行うECUと、を備える。

[0005]

ECUは、ストローク位置がストローク終端近傍の終端領域に存する場合、ストローク位置を終端領域から中立領域へと向かわせるように目標駆動力の補正を行う。

特許文献1に係る電動サスペンション装置によれば、車両の過酷な走行シーンにおいて 、フルバンプ又はフルリバウンド状態に陥る事態を未然に回避することができる。

【特許文献1】特許第6417443号公報

【発明の開示】

【発明が解決しようとする課題】

[0006]

しかしながら、特許文献1に係る電動サスペンション装置では、例えば、一定の間隔を置いて継ぎ目(段差)のある道路を走行中のシーンにおいて、後輪が段差を通過する際に生じる振動を適切に減衰することについて特段の考慮はなされていない。

[0007]

本発明は、前記実情に鑑みてなされたものであり、例えば、一定の間隔を置いて段差の ある道路を走行中のシーンであっても、後輪が段差を通過する際に生じる振動を適切に減 衰可能な電動サスペンション装置を提供することを目的とする。

【課題を解決するための手段】

[0008]

上記目的を達成するために、(1)に係る発明は、車両の車輪を含むばね下部材、及び車体を含むばね上部材の間に備わるばね部材に並設され、減衰動作及び伸縮動作に係る駆動力を発生させる電磁アクチュエータと、前記ばね下部材及び前記ばね上部材の少なくともいずれか一方の伸縮方向の加速度情報を取得する情報取得部と、前記電磁アクチュエータの減衰動作の目標値である目標減衰力を算出する減衰力算出部と、前記減衰力算出部と、前記減衰力算出部と、前記減衰力に基づく目標駆動力を用いて前記電磁アクチュエータの駆動制御を行う駆動制御部と、を備え、前記電磁アクチュエータは、少なくとも後輪側に設けられ、前記情報取得部は、少なくとも前輪側に関する前記加速度情報に基づく路面凹凸信号を取得し、前記減衰力算出部は、前記情報取得部で取得した前輪側に関する前記加速度情報に基づく路面凹凸信号のうち、後輪側での振動減衰対象帯域に属する信号成分に基づいて、後輪側に設けた前記電磁アクチュエータに係る前記目標減衰力を算出し、前記駆動制御部は

10

20

30

40

、前記減衰力算出部で算出した目標減衰力に基づく目標駆動力を用いて、後輪側に設けた前記電磁アクチュエータの駆動制御を行うことを最も主要な特徴とする。

【発明の効果】

[0009]

本発明によれば、例えば、一定の間隔を置いて段差のある道路を走行中のシーンであっても、後輪が段差を通過する際に生じる振動を適切に減衰することができる。

【図面の簡単な説明】

[0010]

- 【図1】本発明の実施形態に係る電動サスペンション装置の全体構成図である。
- 【図2A】本発明の実施形態に係る電動サスペンション装置に備わる電磁アクチュエータが組み込まれたサスペンションシステムのモデル図である。
- 【図2B】図2Aに示す電磁アクチュエータの部分断面図である。
- 【図3】本発明の実施形態に係る電動サスペンション装置に備わる駆動制御装置の内部及び周辺部を概念的に表す構成図である。
- 【図4A】図3に示す駆動制御装置に備わる第1減衰力算出部のブロック構成図である。
- 【図4B】図3に示す駆動制御装置に備わる第2減衰力算出部のブロック構成図である。
- 【図4C】図3に示す駆動制御装置に備わる第3減衰力算出部のブロック構成図である。
- 【図5】本発明の実施形態に係る電動サスペンション装置の動作説明に供する図である。
- 【図6】図6(a)~(c)は、車両に備わる前輪及び後輪が段差を通過する走行シーンを時系列的に表す説明図である。
- 【図7A】本発明の実施形態に係る電動サスペンション装置の作用効果の説明に供する図である。
- 【図7B】本発明の実施形態に係る電動サスペンション装置の作用効果の説明に供する図である。

【発明を実施するための形態】

[0011]

以下、本発明の実施形態に係る電動サスペンション装置について、適宜図面を参照して詳細に説明する。

なお、以下に示す図面において、共通の機能を有する部材間には同一の参照符号を付するものとする。また、部材のサイズ及び形状は、説明の便宜のため、変形又は誇張して模式的に表す場合がある。

本明細書において左右という表現を用いる場合、車両の進行方向前方を向いて右方を右、左方を左と呼ぶ。

[0012]

[本発明の実施形態に係る電動サスペンション装置11の概要]

はじめに、本発明の実施形態に係る電動サスペンション装置11の概要について、図1、図2A、図2Bを参照して説明する。

図1は、本発明の実施形態に係る電動サスペンション装置11の全体構成図である。図2Aは、本発明の実施形態に係る電動サスペンション装置11に備わる電磁アクチュエータ13が組み込まれたサスペンションシステムのモデル図である。図2Bは、図2Aに示す電磁アクチュエータ13の部分断面図である。

[0013]

車両10は、図1及び図2Aに示すように、前輪(左側前輪・右側前輪)及び後輪(左側後輪・右側後輪)を含むばね下部材(ばね下質量:m1/ばね下変位:x1)1と、車体を含むばね上部材(ばね上質量:m2/ばね上変位:x2)3と、を備えて構成されている。各車輪には、図2A中にコイルばね(タイヤばね定数:k1)で表されるタイヤ5が装着されている。タイヤ5は、路面(路面変位:x0)に接地されている。なお、以下の説明において、右側前輪及び右側後輪を右側車輪、左側前輪及び左側後輪を左側車輪と総称する場合がある。

車両10は、前輪駆動車、後輪駆動車、四輪駆動車のいずれであってもよい。

20

10

30

40

[0014]

ばね下部材1とばね上部材3との間には、図2Aに示す各車輪毎に、ばね部材(ばね定数:k2)7、ダンパ部材(減衰係数:c2)9、及び電磁アクチュエータ13が、伸縮方向に沿って伸縮自在に設けられている。

[0015]

本発明の実施形態に係る電動サスペンション装置11は、図1に示すように、車両10の各車輪毎に備わる複数の電磁アクチュエータ13と、ひとつの電子制御装置(以下、「ECU」という。)15とを備えて構成されている。複数の電磁アクチュエータ13とECU15との間は、ECU15から複数の電磁アクチュエータ13への駆動制御用電力を供給するための電力供給線14(図1の実線参照)、及び、複数の電磁アクチュエータ13からECU15に電磁アクチュエータ13のストローク位置を送るための信号線16(図1の破線参照)をそれぞれ介して相互に接続されている。

[0016]

この実施形態では、複数の電磁アクチュエータ13の各々は、それぞれが共通の構成を備えている。そこで、ひとつの電磁アクチュエータ13の構成について説明することで、 複数の電磁アクチュエータ13の説明に代えることとする。

[0017]

電磁アクチュエータ13は、図2Bに示すように、ベースハウジング17、アウタチューブ19、ボールベアリング21、ボールねじ軸23、複数のボール25、ナット27、及びインナチューブ29を備えて構成されている。

[0018]

ベースハウジング17は、ボールベアリング21を介してボールねじ軸23の基端側を軸周りに回転自在に支持する。アウタチューブ19は、ベースハウジング17に設けられ、ボールねじ軸23、複数のボール25、ナット27を含むボールねじ機構18を収容する。複数のボール25は、ボールねじ軸23のねじ溝に沿って転動する。ナット27は、複数のボール25を介してボールねじ軸23に係合し、ボールねじ軸23の回転運動を直線運動に変換する。ナット27に連結されたインナチューブ29は、ナット27と一体になりアウタチューブ19の軸方向に沿って変位する。

[0019]

ボールねじ軸23に回転駆動力を伝えるために、電磁アクチュエータ13には、図2Bに示すように、電動モータ31(図2A及び図2B参照)、一対のプーリ33、及びベルト部材35が備わっている。電動モータ31は、アウタチューブ19に並列するようにベースハウジング17に設けられている。

電動モータ31のモータ軸31a及びボールねじ軸23には、それぞれにプーリ33が装着されている。これら一対のプーリ33には、電動モータ31の回転駆動力をボールねじ軸23に伝達するためのベルト部材35が懸架されている。

[0020]

電動モータ31のケーシング31bには、電動モータ31の回転角信号を検出するレゾルバ37が設けられている。レゾルバ37で検出された電動モータ31の回転角信号は、信号線16を介してECU15に送られる。本発明の実施形態では、電動モータ31の回転角は、電磁アクチュエータ13のストローク位置に置き換えることができる。電動モータ31の回転角の変位に従って、電磁アクチュエータ13のストローク位置が伸び側又は縮み側(図2B参照)に変位するからである。

電動モータ31は、ECU15が複数の電磁アクチュエータ13のそれぞれに電力供給線14を介して供給する駆動制御電力に応じて回転駆動が制御される。

[0021]

なお、本発明の実施形態では、図2Bに示すように、電動モータ31のモータ軸31aとボールねじ軸23とを略平行に配置して両者間を連結するレイアウトを採用することで、電磁アクチュエータ13における軸方向の寸法を短縮している。ただし、電動モータ31のモータ軸31aとボールねじ軸23とを同軸に配置して両者間を連結するレイアウト

10

20

30

40

を採用してもよい。

[0022]

本発明の実施形態に係る電磁アクチュエータ13では、図2Bに示すように、ベースハウジング17の下端部に連結部39が設けられている。この連結部39は、ばね下部材1の一部を構成するロアアーム(不図示)に連結固定される。一方、インナチューブ29の上端部29aは、ばね上部材3の一部を構成する車体側のストラットタワー部(不図示)に連結固定されている。

[0023]

要するに、電磁アクチュエータ13は、車両10のばね下部材1とばね上部材3との間に備わるばね部材7に並設されている。

ばね上部材 3 には、電磁アクチュエータ 1 3 のストローク方向に沿う車体(ばね上)の加速度を検出するばね上加速度センサ 4 3 が設けられている。また、ばね下部材 1 には、電磁アクチュエータ 1 3 のストローク方向に沿う車輪(ばね下)の加速度を検出するばね下加速度センサ 4 5 が設けられている。

[0024]

前記のように構成された電磁アクチュエータ13は、次のように動作する。すなわち、例えば、車両10の車輪側から連結部39に対して上向きの振動に係る外力が入力されたケースを考える。このケースでは、上向きの振動に係る外力が加わったアウタチューブ19に対し、インナチューブ29及びナット27が一体に下降しようとする。これを受けて、ボールねじ軸23は、ナット27の下降に従う向きに回転しようとする。この際において、ナット27の下降を妨げる向きの電動モータ31の回転駆動力を生じさせる。この電動モータ31の回転駆動力は、ベルト部材35を介してボールねじ軸23に伝達される。

このように、上向きの振動に係る外力に対抗する反力である減衰力(ストローク方向と 反対向きの力)をボールねじ軸23に作用させることにより、車輪側から車体側へと伝え られようとする振動を減衰させる。

[0025]

[ECU15の内部構成]

次に、電動サスペンション装置11に備わる駆動制御装置であるECU15の内部構成について、図3を参照して説明する。図3は、電動サスペンション装置11に備わる駆動制御装置(ECU15)の内部及び周辺部を概念的に表す構成図である。

[0026]

ECU15は、各種の演算処理を行うマイクロコンピュータを含んで構成される。ECU15は、レゾルバ37で検出された電動モータ31の回転角、すなわち、電磁アクチュエータ13のストローク位置等に基づいて、複数の電磁アクチュエータ13のそれぞれを駆動制御することにより、減衰動作及び伸縮動作に係る駆動力を発生させる駆動制御機能を有する。ECU15は、本発明の「駆動制御部」に相当する。

[0027]

こうした駆動制御機能を実現するために、ECU15は、図3に示すように、情報取得部51と、減衰力算出部53と、駆動力演算部55と、駆動制御部57とを備えて構成されている。

[0028]

情報取得部51は、レゾルバ37で検出された電動モータ31の回転角、つまり、電磁アクチュエータ13のストローク位置の情報を取得する。また、情報取得部51は、前輪側及び後輪側に係るばね上加速度センサ43で検出されたばね上加速度、前輪側及び後輪側に係るばね下加速度センサ45で検出されたばね下加速度、ロール角速度センサ47で検出されたロール角速度、車速センサ49で検出された車速Vの情報(車速情報)、ホイールベース長に係る情報(WB情報:図6(a)~(c)参照)、及び、処理遅延時間情報を取得する。

[0029]

さらに、情報取得部51は、電磁アクチュエータ13のストローク位置の変位を時間微

10

20

30

40

分することにより、電磁アクチュエータ13のストローク速度(以下、単に「ストローク速度」という場合がある。)を求める。なお、電磁アクチュエータ13のストローク速度は、ストロークの速度及び方向の情報を含んでいる。情報取得部51で取得した電磁アクチュエータ13のストローク速度、ばね上加速度・ばね下加速度、ロール角速度、車速V、ホイールベース長、及び処理遅延時間を含む車両状態情報は、減衰力算出部53に送られる。

[0030]

減衰力算出部53は、情報取得部51で取得した車両状態情報に基づいて、電磁アクチュエータ13の減衰動作の目標値である目標減衰力を算出する。減衰力算出部53で算出された目標減衰力の情報は、駆動力演算部55に送られる。

本発明の実施形態に係る減衰力算出部53としては、第1減衰力算出部53A(図4A参照)、第2減衰力算出部53B(図4B参照)、第3減衰力算出部53C(図4C参照)を例示することができる。第1~第3減衰力算出部53A~53Cのそれぞれで行われる処理内容について、詳しくは後記する。

[0031]

駆動力演算部55は、ストローク速度の情報を入力し、ストローク速度の情報、及び、ストローク速度の変化に応じて変化する減衰力の値を対応付けた減衰力マップ(不図示)を参照して、減衰力制御信号及び伸縮力制御信号をそれぞれ生成すると共に、当該生成した減衰力制御信号及び伸縮力制御信号をマージすることで目標駆動力を含む駆動制御信号を演算する。駆動力演算部55の演算結果である目標駆動力を含む駆動制御信号は、駆動制御部57へ送られる。駆動力演算部55で行われる演算内容について、詳しくは後記する。

[0032]

駆動制御部57は、駆動力演算部55から送られてきた駆動制御信号に従って、複数の電磁アクチュエータ13のそれぞれに備わる電動モータ31に駆動制御電力を供給することにより、複数の電磁アクチュエータ13の駆動制御をそれぞれ独立して行う。なお、電動モータ31に供給される駆動制御電力を生成するに際し、例えば、インバータ制御回路を好適に用いることができる。

[0033]

〔第1減衰力算出部53Aのブロック構成〕

次に、本発明の実施形態に係る駆動制御装置(ECU)15に備わる第1減衰力算出部53Aのブロック構成について、図4Aを参照して説明する。図4Aは、駆動制御装置15に備わる第1減衰力算出部53Aのブロック構成図である。

[0034]

本発明の実施形態に係る駆動制御装置15に備わる第1減衰力算出部53Aは、図4Aに示すように、遅延時間推定部63、波形整形・時期調整部65、車速レシオ算出部67、及び乗算部69を備えて構成されている。

[0035]

遅延時間推定部63は、車両10の前進走行に伴って前輪側で受けた路面入力を後輪側で遅れて受けるまでに要する遅延時間Tdlを推定する機能を有する。詳しく述べると、遅延時間推定部63は、車速V(m/秒)、ホイールベース長(WB長:m)、及び処理遅延時間情報T1(秒)に基づいて、下記(式1)を用いて前記遅延時間Tdlを推定する。

Tdl=(WB長/車速V)—T1 (式1)

[0036]

ここで、車両10の前進走行に伴って前輪側で受けた路面入力を後輪側で遅れて受けるまでに要する遅延時間Tdlは、技術的には、(WB長/車速V)の式で表現することができる。ただし、実際のところ、前輪側で実際に路面入力を受けた時点と、前輪側で路面入力を受けたことを検知した時点との間には、路面入力を受けたことを認識し伝える処理過程で遅れ時間(処理遅延時間情報T1)が生じる。そこで、(WB長/車速V)から(処理遅延時間情報T1)を差し引くことで、遅延時間Tdlを推定している。

10

20

30

40

[0037]

波形整形・時期調整部 6 5 は、前輪側に関するばね上部材 3 の伸縮方向の加速度情報に基づく路面凹凸信号のうち、後輪側での振動減衰対象帯域に属する信号成分を、後輪側での振動減衰を実現するための信号波形に整形すると共に、遅延時間推定部 6 3 で推定された遅延時間 T dlに基づき前記整形された信号波形に係る出現時期を調整する機能を有する

[0038]

車速レシオ算出部 6 7 は、車速 V の変化に応じたレシオ R T の値を算出する機能を有する。レシオ R T は、波形整形・時期調整部 6 5 で波形整形後の、後輪側での振動減衰用信号のゲイン調整を行う際に用いられる。

[0039]

本実施形態に係る車速レシオテーブル68では、車速Vが第1車速閾値V th1未満の低車速領域に係るレシオRTは定数(RT=0)を、車速Vが第2車速閾値V th2を超える高車速領域に係るレシオRTは定数(RT=1)を、車速Vが第1車速閾値V th1以上~第2車速閾値V th2以下の中車速領域に係るレシオRTは線形可変数(0 < RT < 1)を、それぞれ割り当てる特性に設定されている。

[0040]

なお、車速 V が第 1 車速閾値 V th1未満の低車速領域に係るレシオ R T には定数 (R T = 0) が割り当てられるため、当該低車速領域では、前輪側での路面凹凸信号に基づく後輪側での振動減衰を狙った目標減衰力はゼロ(車速 V に応じた目標減衰力の修正なし)となる。

[0041]

また、車速 V が第 2 車速閾値 V th2を超える高車速領域に係るレシオ R T には定数(RT=1)が割り当てられるため、当該高車速領域では、前輪側での路面凹凸信号に基づく後輪側での振動減衰を狙った目標減衰力のゲインは「1」(車速 V に応じた目標減衰力の修正なし)となる。

[0042]

そして、車速 V が第 1 車速閾値 V th1以上~第 2 車速閾値 V th2以下の中車速領域に係るレシオ R T には線形可変数(0 < R T < 1)が割り当てられるため、当該中車速領域では、前輪側での路面凹凸信号に基づく後輪側での振動減衰を狙った目標減衰力のゲインは「0 - 1」の(車速が高くなるほど目標減衰力の下方修正量を線形に減らす一方、車速が低くなるほど目標減衰力の下方修正量を線形に増やす)中間値となる。

[0043]

乗算部69は、波形整形・時期調整部65で波形整形後の後輪側での振動減衰用信号、車速レシオ算出部67で算出された(車速Vの変化に応じた)レシオRTの値、及び既定ゲインGの値を入力すると共に、波形整形後の後輪側での振動減衰用信号に、レシオRTの値、及び既定ゲインGの値を乗算することにより、前輪側での路面凹凸信号に基づく後輪側での振動減衰効果を狙った第1目標減衰力を算出する。乗算部69で算出された第1目標減衰力は、図3に示す駆動力演算部55に送られる。

[0044]

〔第2減衰力算出部53Bのブロック構成〕

次に、本発明の実施形態に係る駆動制御装置(ECU)15に備わる第2減衰力算出部53Bのブロック構成について、図4Bを参照して説明する。図4Bは、駆動制御装置15に備わる第2減衰力算出部53Bのブロック構成図である。

[0045]

第2減衰力算出部53Bのブロック構成は、図4Bに示すように、第1減衰力算出部53A(図4A参照)のブロック構成と共通の部分が多く存在する。そこで、第2減衰力算出部53Bのブロック構成について、第1減衰力算出部53Aのブロック構成と異なる部分(バンドパスフィルタ61)及びそれに直接関係する部分(波形整形・時期調整部65太び乗算部69)に注目して説明することで、第2減衰力算出部53Bのブロック構成

10

20

30

40

の説明に代えることとする。

[0046]

バンドパスフィルタ 6 1 は、車両 1 0 の前進走行に伴って前輪側のばね下部材 1 で生じる前輪ばね下加速度に基づく路面凹凸信号を入力し、入力した路面凹凸信号に対して所定の周波数帯域通過処理を施し、この周波数帯域通過処理後の(所定の周波数帯域が強調された)路面凹凸信号を出力する。

[0047]

バンドパスフィルタ 6 1 における所定の周波数帯域通過処理では、路面凹凸信号に係る周波数帯域のうち、所定の周波数帯域に属する信号成分を通過させる一方で、所定の周波数帯域に属しない信号成分は除去される。その結果、バンドパスフィルタ 6 1 は、所定の周波数帯域が強調された路面凹凸信号を出力する。バンドパスフィルタ 6 1 は、本発明の「抽出部」に相当する。

[0048]

ここで、所定の周波数帯域に属する信号成分とは、後輪側での振動減衰対象帯域(乗員が不快感を抱く周波数帯域である、例えば、4~20Hz)に属する信号成分を意味する。本発明の狙いは、前輪側のばね下部材1で生じた路面凹凸信号に基づいて、後輪側に係るばね下部材1での乗員が不快感を抱く信号成分を抑制することにある。

バンドパスフィルタ(抽出部) 6 1 で抽出された前輪側に関するばね下部材 1 の伸縮方向の加速度情報に基づく路面凹凸信号は、波形整形・時期調整部 6 5 に送られる。

[0049]

波形整形・時期調整部 6 5 は、バンドパスフィルタ(抽出部) 6 1 で抽出された前輪側に関するばね下部材 1 の伸縮方向の加速度情報に基づく路面凹凸信号のうち、後輪側での振動減衰対象帯域に属する信号成分を、後輪側での振動減衰を実現するための信号波形に整形すると共に、遅延時間推定部 6 3 で推定された遅延時間 T dlに基づき前記整形された信号波形に係る出現時期を調整する。

波形整形・時期調整部 6 5 で波形整形後の後輪側での振動減衰用信号は、乗算部 6 9 に送られる。

[0050]

乗算部69は、波形整形・時期調整部65で波形整形後の後輪側での振動減衰用信号、車速レシオ算出部67で算出された(車速Vの変化に応じた)レシオRTの値、及び既定ゲインGの値を入力すると共に、波形整形後の後輪側での振動減衰用信号に、レシオRTの値、及び既定ゲインGの値を乗算することにより、前輪側での路面凹凸信号に基づく後輪側での振動減衰効果を狙った第2目標減衰力を算出する。乗算部69で算出された第2目標減衰力は、図3に示す駆動力演算部55に送られる。

[0051]

〔第3減衰力算出部53Cのブロック構成〕

次に、本発明の実施形態に係る駆動制御装置(ECU)15に備わる第3減衰力算出部53Cのブロック構成について、図4Cを参照して説明する。図4Cは、駆動制御装置15に備わる第3減衰力算出部53Cのブロック構成図である。

[0052]

第3減衰力算出部53Cのブロック構成は、図4Cに示すように、第1減衰力算出部53Aのブロック構成(図4A参照)、第2減衰力算出部53Bのブロック構成(図4B参照)を含む共通の部分が多く存在する。そこで、第3減衰力算出部53Cのブロック構成について、前記共通の部分と異なる部分(加算部71)に注目して説明することで、第3減衰力算出部53Cのブロック構成の説明に代えることとする。

[0053]

加算部71は、第1減衰力算出部53Aで算出された第1目標減衰力、及び第2減衰力 算出部53Bで算出された第2目標減衰力の各値を入力すると共に、これらの各値同志を 加算することにより、前輪側での路面凹凸信号に基づく後輪側での振動減衰効果を狙った 第3目標減衰力を算出する。加算部71で算出された第3目標減衰力は、図3に示す駆動 10

20

30

40

力演算部55に送られる。

[0054]

[本発明の実施形態に係る電動サスペンション装置 1 1 の動作説明]

次に、本発明の実施形態に係る電動サスペンション装置 1 1 の動作について、図 5 を参照して説明する。

図5は、本発明の実施形態に係る電動サスペンション装置11の動作説明に供するフローチャート図である。なお、本発明の実施形態に係る電動サスペンション装置11の動作について、同電動サスペンション装置11に備わる減衰力算出部53として、第3減衰力算出部53C(図4C参照)を用いた例を挙げて説明する。

[0055]

ステップS11において、ECU15に備わる第1・第2減衰力算出部53A,53Bのそれぞれに属する情報取得部51は、電磁アクチュエータ13のストローク位置の情報、前輪側及び後輪側に係るばね上加速度・ばね下加速度、ロール角速度、車速Vの情報(車速情報)、ホイールベース長に係る情報(WB情報:図6(a)~(c)参照)、処理遅延時間情報T1、及び既定ゲインGに係る情報を含む各種情報を取得する。

[0056]

ステップS12において、ECU15に備わる第2減衰力算出部53Bに属するバンドパスフィルタ61は、車両10の前進走行に伴って前輪側のばね下部材1で生じる前輪ばね下加速度に基づく路面凹凸信号を入力し、入力した路面凹凸信号に対してバンドパスフィルタ処理を施す。詳しく述べると、バンドパスフィルタ61は、入力した路面凹凸信号に対して所定の周波数帯域通過処理を施し、この周波数帯域通過処理後の(所定の周波数帯域が強調された)路面凹凸信号を出力する。

[0057]

ステップS13において、ECU15に備わる第1・第2減衰力算出部53A,53Bのそれぞれに属する遅延時間推定部63は、車両10の前進走行に伴って前輪側で受けた路面入力を後輪側で遅れて受けるまでに要する遅延時間Tdlを推定する。

[0058]

ステップ S 1 4 において、 E C U 1 5 に備わる第 1 ・第 2 減衰力算出部 5 3 A , 5 3 B のそれぞれに属する車速レシオ算出部 6 7 は、車速 V の変化に応じたレシオ R T の値を算出する。

[0059]

ステップS15において、ECU15に備わる第1減衰力算出部53Aに属する波形整形・時期調整部65は、前輪側に関するばね上部材3の伸縮方向の加速度情報に基づく路面凹凸信号のうち、後輪側での振動減衰対象帯域に属する信号成分を、後輪側での振動減衰を実現するための信号波形に整形すると共に、遅延時間推定部63で推定された遅延時間 Tdlに基づき前記整形された信号波形に係る出現時期を調整する。

[0060]

また、ステップS15において、ECU15に備わる第2減衰力算出部53Bに属する波形整形・時期調整部65は、バンドパスフィルタ61で抽出された前輪側に関するばね下部材1の伸縮方向の加速度情報に基づく路面凹凸信号のうち、後輪側での振動減衰対象帯域に属する信号成分を、後輪側での振動減衰を実現するための信号波形に整形すると共に、遅延時間推定部63で推定された遅延時間Tdlに基づき前記整形された信号波形に係る出現時期を調整する。

[0061]

ステップS16において、ECU15に備わる第1・第2減衰力算出部53A,53Bのそれぞれに属する乗算部69は、波形整形・時期調整部65で波形整形後の後輪側での振動減衰用信号、車速レシオ算出部67で算出された(車速Vの変化に応じた)レシオRTの値、及び既定ゲインGの値を入力すると共に、波形整形後の後輪側での振動減衰用信号に、レシオRTの値、及び既定ゲインGの値を乗算することにより、前輪側での路面凹凸信号に基づく後輪側での振動減衰効果を狙った第1・第2目標減衰力をそれぞれ算出す

10

20

30

40

る。

また、ECU15に備わる第3減衰力算出部53Cに属する加算部71は、第1減衰力算出部53Aで算出された第1目標減衰力、及び第2減衰力算出部53Bで算出された第2目標減衰力の各値を入力すると共に、これらの各値同志を加算することにより、前輪側での路面凹凸信号に基づく後輪側での振動減衰効果を狙った第3目標減衰力を算出する。加算部71で算出された第3目標減衰力は、図3に示す駆動力演算部55に送られる。

駆動力演算部55は、減衰力算出部53で算出された後輪側での第3目標減衰力に基づいて、減衰力制御信号を生成すると共に、当該生成した減衰力制御信号に基づく駆動制御信号を演算により求める。

[0062]

ステップS 1 7 において、E C U 1 5 に備わる駆動制御部 5 7 は、駆動力演算部 5 5 から送られてきた駆動制御信号に従って、後輪側に設けた電磁アクチュエータ 1 3 に備わる電動モータ 3 1 に駆動制御電力を供給することにより、後輪側に設けた電磁アクチュエータ 1 3 の駆動制御を行う。

[0063]

〔本発明の実施形態に係る電動サスペンション装置11の作用効果〕

次に、本発明の実施形態に係る電動サスペンション装置 1 1 の作用効果について、図 6 (a)~(c)、図 7 A 及び図 7 B を適宜参照して説明する。

図6(a)~(c)は、車両に備わる前輪及び後輪が順次段差を通過する走行シーンを時系列的に表す説明図である。図7Aは、車両10の後輪が段差を通過した際において、比較例及び実施例に関する後輪側のばね下部材1に係る周波数・ばね下変位(×1)特性線図である。図7Bは、車両10の後輪が段差を通過した際において、比較例及び実施例に関する後輪側のばね上部材3に係る周波数・ばね上変位(×2)特性線図である。

[0064]

例えば、図6(a)~(c)に示すように、一定の間隔を置いて段差6のある道路を車両10が前進走行中のシーンにおいて、前輪が段差6を通過した後(図6(a)参照)、その段差6を後輪が通過する(図6(b)-(c)参照)際に、後輪側において周期的な振動が生じる。

[0065]

前記のように後輪側において生じる振動を適切に減衰するために、第1の観点に基づく電動サスペンション装置11では、車両10の車輪を含むばね下部材1、及び車体を含むばね上部材3の間に備わるばね部材7に並設され、減衰動作及び伸縮動作に係る駆動力を発生させる電磁アクチュエータ13と、ばね下部材1及びばね上部材3の少なくともいずれか一方の伸縮方向の加速度情報を取得する情報取得部51と、電磁アクチュエータ13の減衰動作の目標値である目標減衰力を算出する減衰力算出部53と、減衰力算出部53で算出した目標減衰力に基づく目標駆動力を用いて電磁アクチュエータ13の駆動制御を行う駆動制御部57と、を備える。

電磁アクチュエータ13は、少なくとも後輪側に設けられる。情報取得部51は、少なくとも前輪側に関する加速度情報に基づく路面凹凸信号を取得する。減衰力算出部53は、情報取得部51で取得した前輪側に関する加速度情報に基づく路面凹凸信号のうち、後輪側での振動減衰対象帯域に属する信号成分に基づいて、後輪側に設けた電磁アクチュエータ13に係る目標減衰力を算出する。駆動制御部57は、減衰力算出部53で算出した目標減衰力に基づく目標駆動力を用いて、後輪側に設けた電磁アクチュエータ13の駆動制御を行う。

[0066]

第1の観点に基づく電動サスペンション装置11において、後輪側での振動減衰対象帯域とは、後輪側での振動のうち乗員が不快感を抱く周波数帯域である、例えば、4~20Hzの周波数帯域を意味する。また、後輪側での振動減衰対象帯域に属する信号成分とは、前記周波数帯域:4~20Hzに属する信号成分を意味する。

第1の観点に基づく電動サスペンション装置11では、前輪側のばね下部材1及びばね

10

20

30

40

上部材3の少なくともいずれか一方で生じた路面凹凸信号のうち、後輪側での振動減衰対象帯域に属する信号成分に基づいて、後輪側に設けた電磁アクチュエータ13に係る目標減衰力を算出することにより、後輪側に係るばね上部材3において乗員が不快感を抱く信号成分を抑制するようにしている。

[0067]

第1の観点に基づく電動サスペンション装置11によれば、前輪側のばね下部材1及びばね上部材3の少なくともいずれか一方で生じた路面凹凸信号のうち、後輪側での振動減衰対象帯域に属する信号成分に基づいて、後輪側に設けた電磁アクチュエータ13に係る目標減衰力を算出することにより、後輪側に係るばね上部材3において乗員が不快感を抱く信号成分を抑制するため、例えば、一定の間隔を置いて段差のある道路を走行中のシーンであっても、後輪が段差を通過する際に生じる振動を適切に減衰することができる。

[0068]

ここで、第1の観点に基づく電動サスペンション装置11における後輪側の振動減衰効果について、図7A及び図7Bを参照して説明する。

車両10の後輪が段差を通過した際において、比較例(本発明の適用なし)及び実施例 (本発明の適用あり)に関する後輪側のばね下部材1に係る周波数・ばね下変位(×1) 特性は、図7Aに示すように、比較例及び実施例共に、実質的に同等の特性を示す。

これに対し、車両10の後輪が段差を通過した際において、比較例(本発明の適用なし:図7Bの点線で表す特性線図を参照)及び実施例(本発明の適用あり:図7Bの実線で表す特性線図を参照)に関する後輪側のばね上部材3に係る周波数・ばね上変位(×2)特性は、図7Bに示すように、約6.3Hz付近の周波数におけるばね上変位(×2)を比べると、実施例では比較例の1/3程度まで低減している。

要するに、本発明に係る後輪側での振動減衰対象帯域(乗員が不快感を抱く周波数帯域である、例えば、4~20Hz)において、比較例に対する実施例の振動減衰効果が顕著に現れていることがわかる。

[0069]

また、第2の観点に基づく電動サスペンション装置11は、第1の観点に基づく電動サスペンション装置11であって、情報取得部51で取得した前輪側に関する加速度情報に基づく路面凹凸信号のうち、後輪側での振動減衰対象帯域に属する信号成分を抽出するバンドパスフィルタ61(抽出部)と、車両10の走行に伴って前輪及び後輪のそれぞれが共通の路面入力(段差6:図6)を受ける際に生じる遅延時間Tdlを推定する遅延時間推定部63と、バンドパスフィルタ61(抽出部)で抽出された前輪側に関する路面凹凸信号のうち、後輪側での振動減衰対象帯域に属する信号成分を、後輪側での振動減衰を買明するための信号波形に整形すると共に、遅延時間推定部63で推定された遅延時間下dlに基づき前記整形された信号波形に係る出現時期を調整する波形整形・時期調整部65と、をさらに備え、減衰力算出部53は、波形整形・時期調整部65で時期調整後の信号波形に基づいて、後輪側に設けた電磁アクチュエータ13の駆動制御を行う。

[0070]

第2の観点に基づく電動サスペンション装置11では、波形整形・時期調整部65は、バンドパスフィルタ61(抽出部)で抽出された前輪側に関する路面凹凸信号のうち、後輪側での振動減衰対象帯域に属する信号成分を、後輪側での振動減衰を実現するための信号波形に整形すると共に、遅延時間推定部63で推定された遅延時間Tdlに基づき前記整形された信号波形に係る出現時期を調整する。

ここで、後輪側での振動減衰対象帯域に属する信号成分を、後輪側での振動減衰を実現するための信号波形に整形するとは、後輪側での振動減衰対象帯域に属する信号成分のゲインを抑制するために、同信号成分に対して逆位相となる信号波形に、当該信号成分を整形することを意味する。

減衰力算出部53は、波形整形・時期調整部65において波形整形及び出現時期調整後

10

20

30

40

の振動減衰信号に基づいて、後輪側に設けた電磁アクチュエータ13に係る目標減衰力を 算出し、駆動制御部57は、減衰力算出部53で算出した目標減衰力に基づく目標駆動力 を用いて、後輪側に設けた電磁アクチュエータ13の駆動制御を行う。これにより、後輪 側での振動減衰対象帯域に属する信号成分に係る荷重入力を相殺する荷重を、後輪側に設 けた電磁アクチュエータ13に生じさせる。

[0071]

第2の観点に基づく電動サスペンション装置11によれば、波形整形・時期調整部65において波形整形及び出現時期調整後の振動減衰信号に基づいて、後輪側に設けた電磁アクチュエータ13に係る目標減衰力を算出し、算出した目標減衰力に基づく目標駆動力を用いて、後輪側に設けた電磁アクチュエータ13の駆動制御を行うため、第1の観点に基づく電動サスペンション装置11と比べて、例えば、一定の間隔を置いて段差のある道路を走行中のシーンであっても、後輪が段差を通過する際に生じる振動を適切に減衰する効果を一層高めることができる。

[0072]

また、第3の観点に基づく電動サスペンション装置11は、第2の観点に基づく電動サスペンション装置11であって、情報取得部51は、車両10の車速情報V、ホイールベース情報WB、及び処理遅延時間情報T1をさらに取得し、遅延時間推定部63は、情報取得部51で取得した車速情報V、ホイールベース情報WB、及び処理遅延時間情報T1に基づいて、遅延時間Tdlを推定する。

[0073]

第3の観点に基づく電動サスペンション装置11によれば、遅延時間推定部63は、情報取得部51で取得した車速情報V、ホイールベース情報WB、及び処理遅延時間情報T1に基づいて、遅延時間Tdlを推定するため、第2の観点に基づく電動サスペンション装置11と比べて、波形整形・時期調整部65において遂行される、遅延時間推定部63で推定された遅延時間Tdlに基づき整形された信号波形に係る出現時期調整の精度を一層高めることができる。

[0074]

〔その他の実施形態〕

以上説明した複数の実施形態は、本発明の具現化の例を示したものである。したがって、これらによって本発明の技術的範囲が限定的に解釈されることがあってはならない。本発明はその要旨又はその主要な特徴から逸脱することなく、様々な形態で実施することができるからである。

【符号の説明】

[0075]

- 1 ばね下部材
- 3 ばね上部材
- 7 ばね部材
- 10 車両
- 11 電動サスペンション装置
- 13 電磁アクチュエータ
- 15 ECU(駆動制御装置:駆動制御部)
- 5 1 情報取得部
- 5 3 減衰力算出部
- 5 7 駆動制御部
- 6 1 バンドパスフィルタ(抽出部)
- 63 遅延時間推定部
- 65 波形整形・時期調整部

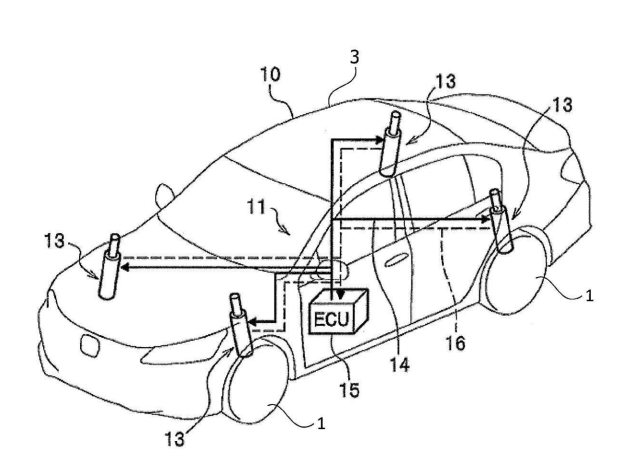
20

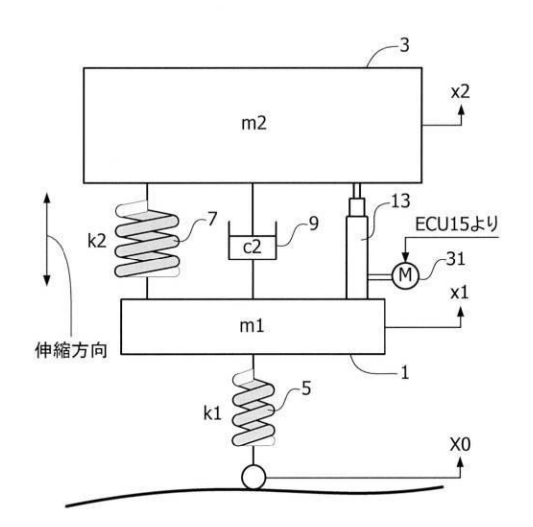
10

30

【図1】

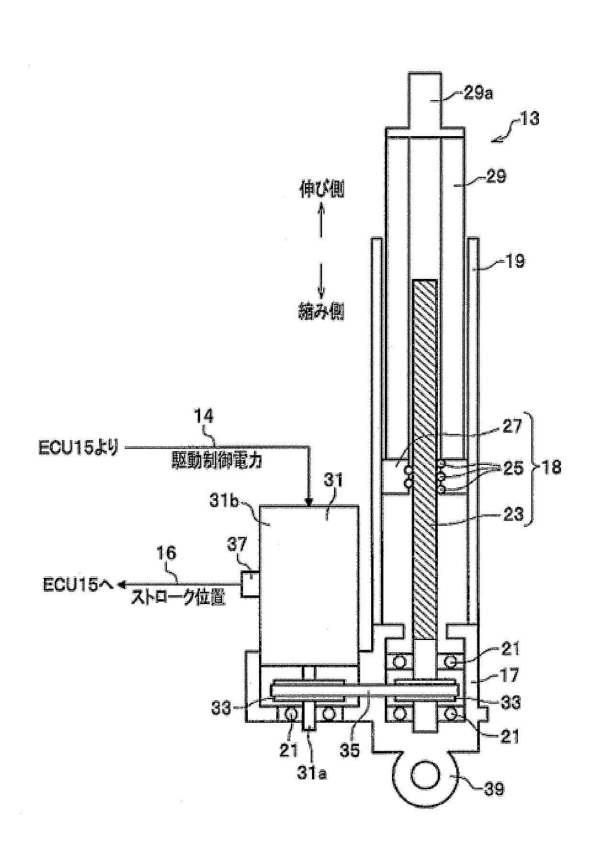
【図2A】

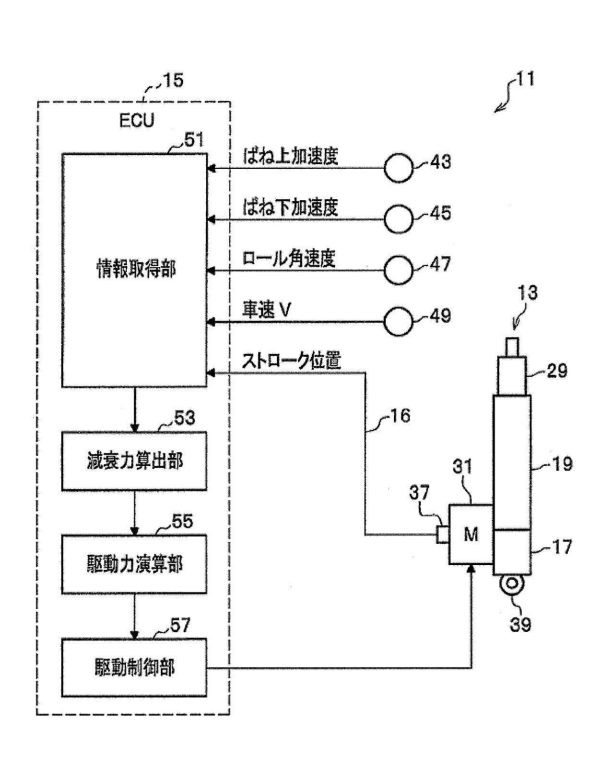




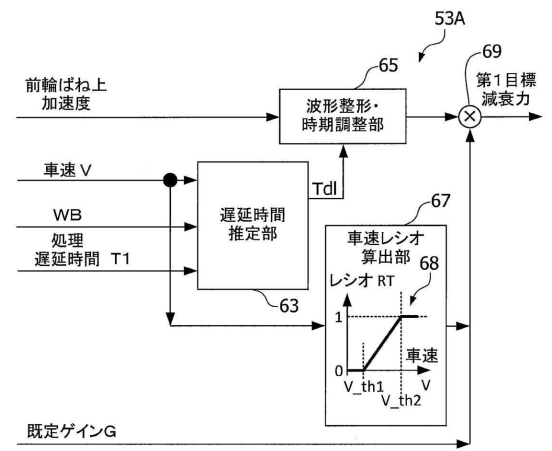
【図2B】

【図3】

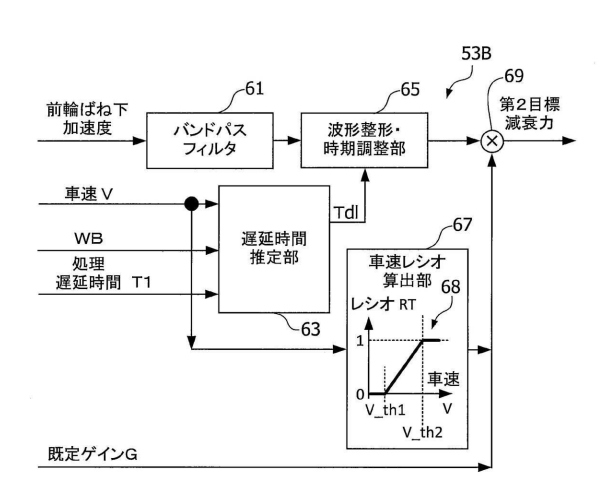




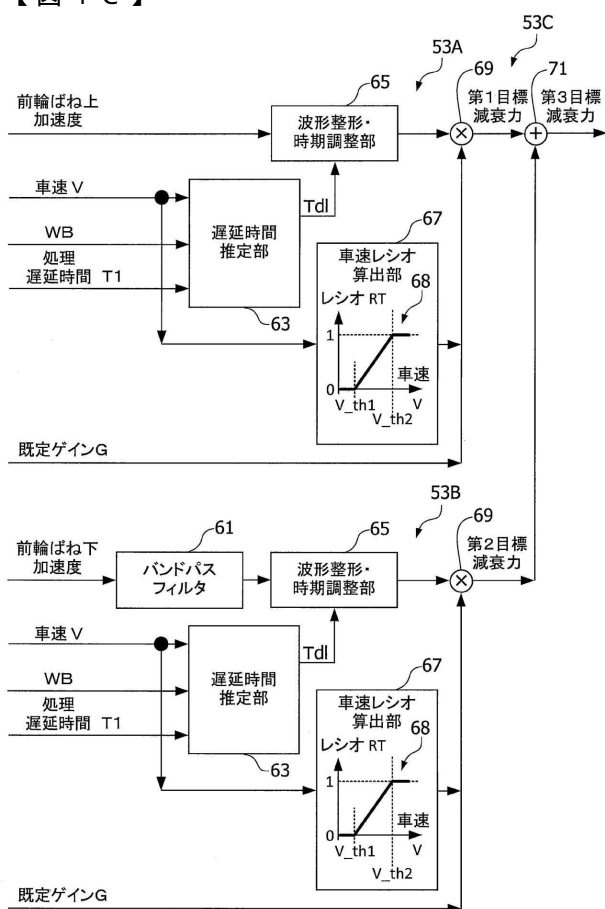
【図4A】



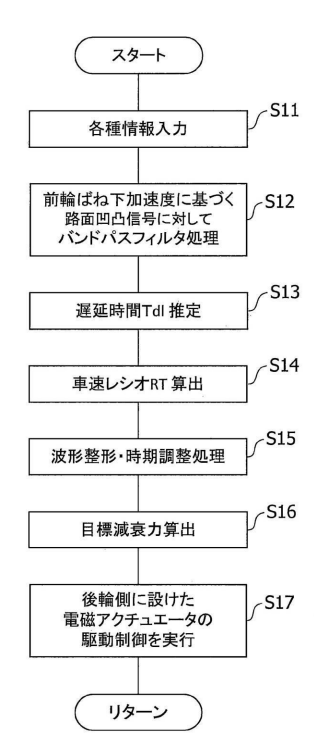
【図4B】



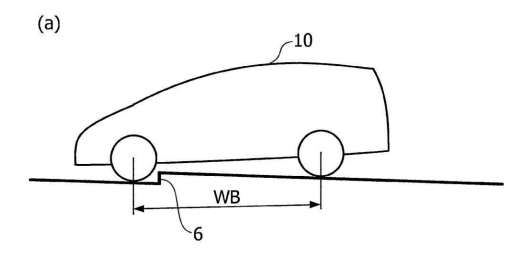
【図4C】

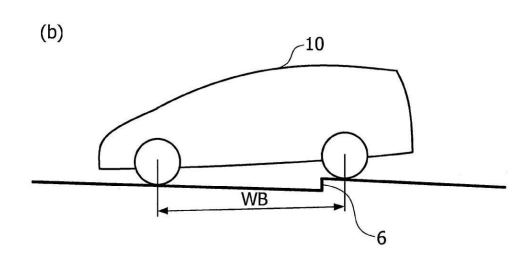


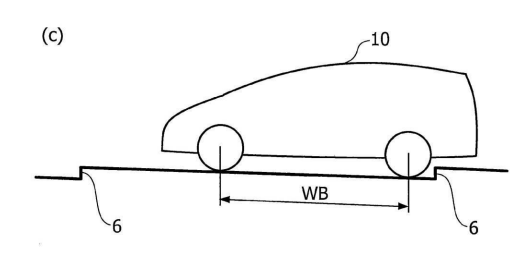
【図5】



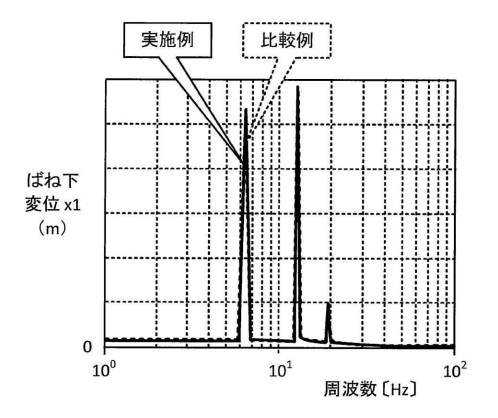
【図6】







【図7A】



【図7B】

